

определяется экспериментально; $\xrightarrow{0,05Q \quad NaCl}$ – расход регенерационного раствора, возвращаемого в систему;
 $\xrightarrow{q_3 \quad CaCO_3 \downarrow MgCO_3 \downarrow Mg(OH)_2 \downarrow}$ – расход из системы шлама, образующегося в результате химических реакций.

Для определения величины подпитки системы необходимо составить уравнение солевого баланса для циркулирующих в системе хлоридов.

На основе существующей схемы работы предлагаемого метода, уравнение водно-солевого баланса имеет вид:

$$0,05QC_1 + q_1C_2 + q_2C_3 = 0,05QC_4 + q_3C_5. \quad (3)$$

Как детально видно из схемы – концентрация хлорид-ионов в очищенной воде равна сумме их в регенерате и текущей их концентрации в воде, в которую добавляют регенерационный раствор технической соды,

Из уравнения (3) находим величину Q , которая представляет собой расход регенерационного раствора поваренной соли.

1. Алферова Л.А., Нечаев А.П. Замкнутые системы водного хозяйства промышленных предприятий, комплексов и районов. – М.: Стройиздат, 1984. – 272 с.
2. Кучеренко Д.И., Гладков В.А. Оборотное водоснабжение (Системы водяного охлаждения). – М.: Стройиздат, 1980. – 168 с.
3. Алексеев Л. С., Гладков В. А., Говерт А.А. Безнакипная работа систем оборотного водоснабжения // Водоснабжение и санитарная техника. - 1984. - № 6. - С. 8-10.
4. Пантелеят Г.С., Сыроватский А.А., Саковский В.Д. Совершенствование систем оборотного водоснабжения металлургических предприятий // Водоснабжение и санитарная техника. – 1996. – № 8. – С. 20-21.
5. Пантелеят Г. С., Андронов В. А., Кузнецов В. Я., Хвесько В. Н. Предотвращение плотных солевых отложений в системах оборотного водоснабжения // Водоснабжение и санитарная техника. – 1996. – № 3. – С. 19-20.

Получено 21.01.2002

УДК 628.349.08; 628.316.6

В.П.ШПАЧУК, д-р техн. наук, Е.А.ЧЕРКАШИНА, А.В.ЛУЦИК
Харьковская государственная академия городского хозяйства

ЭНЕРГЕТИЧЕСКИЕ СООТНОШЕНИЯ В РЕАКТОРЕ ЭЛЕКТРОИМПУЛЬСНО-ВИБРАЦИОННОГО ПРИНЦИПА ДЕЙСТВИЯ В УСТАНОВКАХ ОЧИСТКИ СТОЧНЫХ ВОД

Рассмотрены энергетические соотношения в реакторе электроимпульсно-вибрационного (ЭИВ) принципа действия в установках очистки воды по показателю «удельная средняя мощность». Приведены результаты сравнительной оценки с чисто электроимпульсным (ЭИ) реактором.

Проведенные в работах [1, 2] теоретические и экспериментальные исследования показали высокую эффективность электроимпульсно-вибрационных (ЭИВ) реакторов в технологических схемах очистки хромсодержащих сточных вод по следующим основным показателям: масса диспергированного в рабочую жидкость материала загрузки (более 40%); количество образовавшегося при этом коагулянта (>40%); степень очистки хромсодержащих сточных вод (до 15%). Однако нерешенными оставались вопросы энергетических соотношений в реакторе, а следовательно, и в установке очистки воды в целом.

Исследование энергетических характеристик реакторов электроимпульсно-вибрационного (ЭИВ) и электроимпульсного (ЭИ) принципов действия с целью их сравнительной оценки и посвящена настоящая работа.

Энергетические соотношения рассмотрены на базе экспериментальной установки, конструктивная схема и принцип действия которой рассмотрены в работе [1].

Экспериментальные исследования были проведены при следующих параметрах:

1) реактор чисто электроимпульсного принципа действия:

$$m_3=600 \text{ г; } U=220 \text{ В; } I=2,3 \text{ А; } \tau = 1,0 \text{ час;}$$

2) реактор электроимпульсно-вибрационного принципа действия:

$$a_1=(20,25) \text{ м/с}^2; f_b=(20, 25) \text{ Гц; } m_3=600 \text{ г; } U=220 \text{ В; } I=2,3 \text{ А; } \tau = 1,0 \text{ час.}$$

В обоих случаях время наработки коагулянта при средней мощности генератора импульсов $N_{Ги} = U \cdot I = 506$ Вт составило $\tau=1$ час. Через реактор при этом прокачивалась водопроводная вода (ГОСТ 2872-82 «Вода питьевая») расходом $Q=30$ л/час. Количество наработанного коагулянта определялось по формуле:

$$m_k = \frac{\Sigma(m_{30} - m_{3i})}{n}, \quad (1)$$

где $m_{30} = 600$ г, m_{3i} – масса загрузки реактора при $t = 0$ (исходная масса) и $t = 1$ час (по истечении времени работы установки), $i=(1, 8)$ – номер эксперимента.

В процессе эксперимента получено: $m_k = 0,04$ кг (реактор ЭИ); $m_k = 0,06$ кг (реактор ЭИВ).

В исследованиях в качестве анализируемого энергетического параметра рассмотрена удельная средняя мощность, рассчитываемая по формуле

$$\bar{N}_{yd} = \bar{N} / m_k, \quad (2)$$

где \bar{N} – средняя мощность электрической и механической энергии, поступающей извне в реактор, для реактора ЭИ типа:

$$\bar{N} = \bar{N}_{GI} = 506 \text{ Вт};$$

для реактора ЭИВ типа:

$$\bar{N} = \bar{N}_{GI} + \bar{N}_{IV} \cdot \eta^{-1}; \quad (3)$$

\bar{N}_{IV} – средняя мощность, развиваемая источником вибрации; η – КПД вибровозбудителя (для электромеханических вибровозбудителей, учитывая [3] принимаем $\eta = (0,08 - 0,15)$).

Для реактора чисто электроимпульсного принципа действия получим следующую величину удельной средней мощности:

$$\bar{N}_{ydEI} = \bar{N}_{ydGI} = \bar{N}_{GI} / m_k = 506 / 0,04 = 12,65 \text{ кВт/кг}. \quad (4)$$

Рассмотрим далее реактор типа ЭИВ. Среднюю за период мощность, разрабатываемую источником вибрации, определим как [3]:

$$\bar{N}_{IV} = 0,5F \cdot A_1 \cdot \omega_b \cdot \sin \varphi, \quad (5)$$

где $F = A_1 \cdot m \cdot \sqrt{(\omega_0^2 - \omega_b^2)^2 + 4h^2 \omega_b^2}$, - амплитуда вибровозбуждающей силы, т, A_1 – масса и амплитуда колебаний днища реактора, ω_0 , ω_b – частота собственная и возбуждения, h – коэффициент демпфирования,

$$\sin \varphi = 2h\omega_b / \sqrt{(\omega_0^2 - \omega_b^2)^2 + 4h^2 \omega_b^2}.$$

Выразим параметр \bar{N}_{IV} в (4) через амплитуду a_1 виброускорения днища реактора:

$$\bar{N}_{IV} = m a_1^2 h / \omega_b^2. \quad (6)$$

В режиме резонансных колебаний днища реактора (индекс «Р»), являющемся наиболее экономичным с точки зрения затрат механической энергии, амплитуда силы F будет наименьшей, а выражение (3) приобретает вид

$$\bar{N}_{ИВ} / \omega_p = \frac{m a l^2}{\omega_0^2 - 2h^2} \cdot h. \quad (7)$$

Выразим коэффициент

$$h = (\beta^2 \omega_p^2 / (1 - 2\beta^2))^{1/2} \quad (8)$$

в (7) через коэффициент β относительного демпфирования:

$$\bar{N}_{ИВ} / \omega_p = a l^2 \frac{m}{\omega_p^2} \sqrt{\frac{\beta^2 \omega_p^2}{1 - 2\beta^2}}. \quad (9)$$

Следует отметить, что при известных значениях β , m (конструктивный параметр реактора) коэффициент жесткости C упругого элемента подвески днища реактора может быть рассчитан по выражению

$$C = m(\omega_p^2 + 2h^2) = m(\omega_p^2 + \frac{2\beta^2 \omega_p^2}{1 - 2\beta^2}) = m \frac{\omega_p^2}{1 - 2\beta^2}. \quad (10)$$

Определенные по выражениям (8), (10) значения коэффициентов демпфирования h и жесткости C принимаются в качестве исходных данных при проведении конструкторских работ по созданию регулируемого упруго-демпфируемого элемента подвески реактора.

Для реактора ЭИВ типа величины удельной средней мощности определим по формуле

$$\bar{N}_{удЭИВ} = \bar{N}_{ГИ} / m_k + \bar{N}_{ИВ} / \eta^{-1} / m_k = \bar{N}_{удГИ} + \bar{N}_{удИВ}, \quad (11)$$

где $\bar{N}_{удИВ}$ - удельная средняя мощность источника вибрации, $m_k=0,06$ кг.

С учетом данных эксперимента получим

$$\bar{N}_{удГИ} = 506 / 0,06 = 8,433 \text{ кВт/кг.} \quad (13)$$

На рисунке приведены результаты расчетов мощности $\bar{N}_{удЭИ}$, $\bar{N}_{удЭИВ}$, выполненных с учетом величин $\bar{N}_{ИВ} / \omega_p$, определенных при $\beta=\text{var}$, $a_l=\text{var}$, $m=10$ кг, $\eta=0,1$, $\omega_b=\omega_p=\text{var}$, где параметр:

$$\Delta = \frac{\bar{N}_{удЭИ} - \bar{N}_{удЭИВ}}{\bar{N}_{удЭИ}} \cdot 100\%. \quad (13)$$

Анализ данных показывает, что реализация и применение на практике реакторов электроимпульсно-вибрационного принципа действия обеспечивает по сравнению с реакторами чисто электроимпульсными снижение величин удельной средней мощности на: 32,3÷32,99% при $m=1$ кг и 23,04÷29,87% при $m=10$ кг.

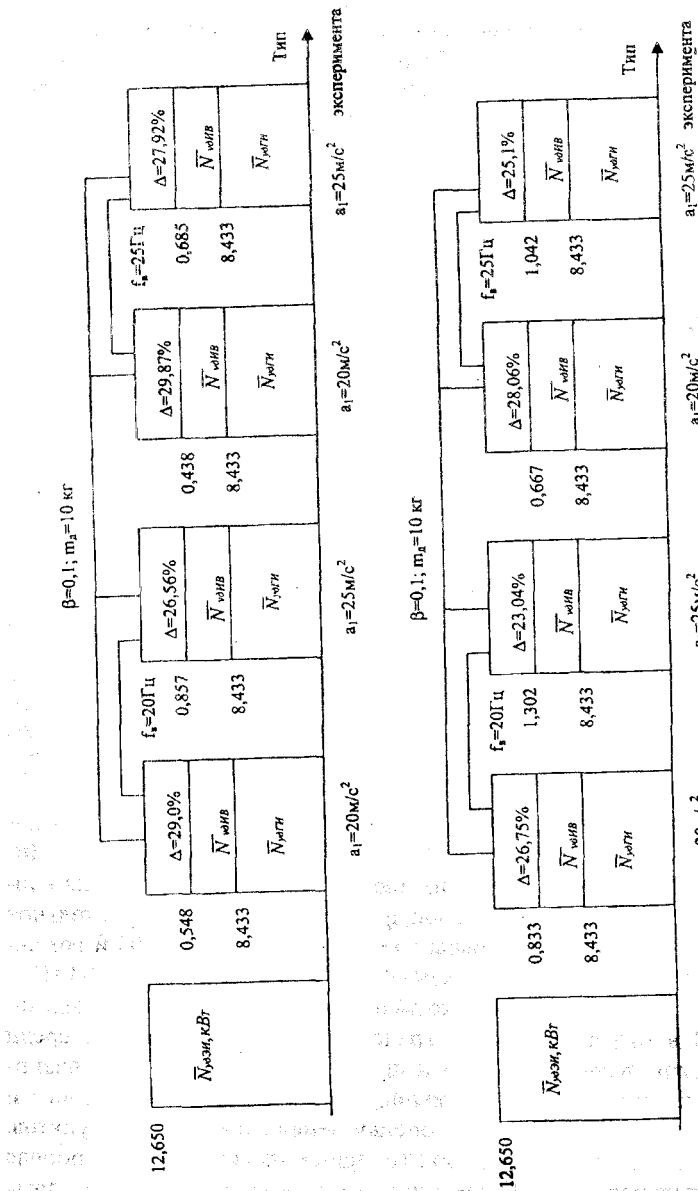


Схема эксперимента

Таким образом, проведенные исследования подтвердили высокую эффективность установок очистки воды, построенных на базе реакторов электроимпульсно-вибрационного принципа действия, по показателю «удельная средняя мощность» поступающей в реактор извне энергии.

1.Шпачук В.П., Черкашина Е.А., Луцик А.В., Левченко В.Ф. Электроимпульсно-вибрационный метод комплексной очистки воды и промышленных стоков // Коммунальное хозяйство городов: Науч.-техн. сб. Вып.21. – К.: Техника, 2000. – С. 65-69.

2.Шпачук В.П., Черкашина Е.А., Федоров А.И. и др. Экспериментальные исследования электроимпульсно-вибрационного метода очистки сточных вод // Коммунальное хозяйство городов: Науч.-техн. сб. Вып. 30. – К.: Техника, 2000. – С. 31-35.

3.Вибрации в технике. Измерения и испытания. Т.5. Справочник в 6 томах / Под ред. Генкина М.Д. – М.: Машиностроение, 1981. – 496 с.

Получено 21.01.2002

УДК 72.01; 711.1

Ю.Н.ПАЛЕХА

Государственный научно-исследовательский институт проектирования городов
"Діпромісто", г.Киев

ГЕОИНФОРМАЦИОННЫЕ ТЕХНОЛОГИИ В ГРАДОСТРОИТЕЛЬНОМ ПРОЕКТИРОВАНИИ И ОЦЕНКЕ ЗЕМЕЛЬ – ОПЫТ "ДІПРОМІСТА"

Использование ГИС-технологий в градостроительном проектировании приобретает в последние годы важное значение. Институтом «Діпромісто» накоплен в этой области значительный опыт. Одним из направлений использования ГИС является денежная оценка земель населенных пунктов. Выполнение в 1995-2001гг. в институте проектов денежной оценки крупнейших городов Украины подтверждает необходимость создания многофункциональной муниципальной ГИС.

Широко использовать ГИС-технологии в градостроительной документации в Украине начали с конца 80-х годов прошлого века. Институт «Діпромісто» был одним из пионеров этого процесса. Для наиболее полного и эффективного внедрения ГИС в градостроительное проектирование в институте была создана лаборатория ГИС и компьютерных технологий, преобразованная в 1995г. в Базовый центр ГИС.

Специалистами Центра накоплен значительный опыт использования ГИС в отдельных видах градостроительных проектов, среди которых можно выделить схемы и проекты территориального планирования, генеральные планы городов, проекты градостроительного и земельного кадастра, денежную оценку земель населенных пунктов. Основой создаваемых с помощью ГИС проектов является электронная градостроительная карта. Существенной особенностью данной карты является то, что это, по сути, не просто картографическая, а градо-